



بررسی تاثیر تزریق از روی دیوار میکروکانال بر سرعت لغزشی انتقال حرارت جابجایی نانوسیال آب و AL_2O_3 در میکروکانال

اسماعیل جلالی^۱, آرش کریمی پور^{۲*}

۱- دانشجوی کارشناسی ارشد، گروه مهندسی مکانیک، دانشگاه آزاد اسلامی، واحد نجف آباد، اصفهان، ایران

۲- استادیار، گروه مهندسی مکانیک، دانشگاه آزاد اسلامی، واحد نجف آباد، اصفهان، ایران

arash.karimipour@pmc.iaun.ac.ir

چکیده :

در این مقاله انتقال حرارت جابجایی اجباری نانوسیال تشکیل شده از آب و نانوذرات AL_2O_3 در یک میکروکانال دو بعدی، افقی با تزریق از دیوار پایین شبیه سازی می شود. دیوار بالایی میکروکانال تحت دمای T_H برابر با 303 کلوین قرار دارد و بر روی دیوار پایینی میکروکانال سه عدد سوراخ به منظور تزریق جریان تعییه شده است و سایر قسمت های دیواره عایق می باشند. در این کار تاثیر پارامترهایی نظیر، عدد رینولدز، ضریب لغزش و کسر حجمی نانوذرات مورد بررسی قرار گرفت. شرط مرزی سرعت لغزشی بر روی دیوارهای بالا و پایین میکروکانال در نظر گرفته می شود. در این کار جریان نانو سیال درون میکروکانال به صورت آرام، دائم و نیوتونی در نظر گرفته شده است. در کار حاظر، تزریق بر سرعت لغزشی از روی دیواره میکروکانال برای اولین بار بررسی می شود. همچنین نتایج به صورت پروفیل های سرعت و نمودارهای عدد ناسلت ارائه می گردد. مشاهده گردید که عدد ناسلت با افزایش مقدار ضریب لغزش سرعت و مقدار درصد وزنی نانوذرات جامد افزایش پیدا می کند و نرخ این افزایش در مقادیر بالای عدد رینولدز بیشتر می شود. همچنین بررسی شد که با تزریق از روی دیواره میکروکانال به خصوص در ضریب لغزش های بالاتر، مقدار سرعت لغزشی افزایش پیدا می کند.

کلید واژگان: انتقال حرارت، سرعت لغزشی، میکروکانال

Effect of Injection on the Microchannel Wall on the Slip Velocity the Heat Transfer of Water- AL_2O_3 Nanofluid in Microchannel

Esmaeil Jalali¹, Arash Karimipour²

1- M.Sc. Student, Department of Mechanical Engineering, Najafabad Branch, Islamic Azad University, Najafabad, Iran.

2- Assist. Prof., Department of Mechanical Engineering, Najafabad Branch, Islamic Azad University, Najafabad, Iran

*Corresponding Author Email: arash.karimipour@pmc.iaun.ac.ir

Abstract :

In this paper, the forced heat transfer of the nanofluid from water and AL_2O_3 nanoparticles is simulated in a two-dimensional, microchannel, horizontal, by injection from the bottom wall. The upper wall of the microchannel is 303 K at a temperature of T_H and there are holes on the lower wall of the microchannel to inject the flow and the other parts of the wall are insulated. In this work, the effect of parameters such as Reynolds number, slip coefficient and volume fraction of nanoparticles were investigated. The boundary condition is considered to be the slipping speed on the upper and lower walls of the microchannel. In this work, the flow of nanofluid in the microchannel is considered slowly, permanently and Newtonian. In the present work, the injection of slip speed from the microchannel wall is first examined. The results are also presented as speed profiles and Nusselt number charts. It was found that the Nusselt number increases with increasing the amount of slip coefficient and the weight percentage of solid nanoparticles, and the rate of this increases in the high values of the Reynolds number. It was also investigated that the amount of slipping velocity increases with injection by the microchannel wall, especially in the slip coefficient.

Keywords: Convective heat transfer, Slip Velocity, Microchannel.

۱- مقدمه

خنک کاری یکی از مسائل مهمی است که بیشتر صنایع پایه از قبیل تولید انرژی، میکروالکتریک، حمل و نقل، ساخت و ساز و متالوژی با آن روبرو می‌باشند. انتقال حرارت امروزه با دو چالش عمده رویرو است؛ از یک طرف خنک کاری تجهیزات با شار حرارتی بالا و از طرف دیگر مسئله کوچک نمودن اندازه تجهیزات. امروزه خنک کاری هواپی متدالرتین شیوه خنک سازی است اما این روش برای انتقال شارهای حرارتی زیاد کارآیی ندارد. مایعات خنک کننده اغلب آب، اتیلن گلیکول، انواع مبردها و سایر خنک سازها بسته به کارآیی هستند. این مایعات اغلب خواص انتقال حرارت ضعیفی دارند که به این منظور دانشمندان تلاش‌های زیادی نموده‌اند تا هدایت حرارتی پایین مایعات را با افزودن ذرات جامد در اندازه نانو بهبود بخشنند. چون که جامد فلزی، ضربی هدایت حرارتی بیشتری نسبت به سیال دارد انتظار می‌رود تعلیق ذرات ریز جامد فلزی در سیال، هدایت حرارتی آن را افزایش دهد.

در ابتدا ماکسول [1]، بیش از 120 سال قبل در کار تئوری خود نشان داد که افزودن درصد حجمی ذرات مخلوط در سیال، افزایش انتقال حرارت هدایتی مخلوط را در پی دارد که دلیل آن قابلیت هدایت حرارتی بالای ذرات فلزی و غیر فلزی اضافه شده به سیال، نسبت به قابلیت هدایت حرارتی سیال پایه است. اخیراً نانو سیال‌ها به عنوان خنک‌کننده‌های بالقوه در مطالعات تئوری و تجربی متعدد معروفی شده‌اند [3,2]. امین فر و همکاران [4] به بررسی عددی آنتروپی تولیدی ناشی از جابجایی ترکیبی نانو سیال آب- Al_2O_3 در یک کانال عمودی با دیواره‌های سینوسی تحت میدان مغناطیسی ثابت و یکنواخت پرداختند. نتایج آن‌ها نشان داد که افزودن نانوذره به سیال پایه، موجب افزایش آنتروپی تولیدی ناشی از انتقال حرارت و آنتروپی جریانی می‌شود. انتقال حرارت جابجایی طبیعی نانو سیال در حضور میدان مغناطیسی یکنواخت بین محفظه مربعی و سیلندر داخلی، با روش شبکه بولترمن توسط رامیان و همکاران [5] شبیه سازی شده است. نتایج حاصله به خوبی حرکت جریان سیال و توزیع دما در فضای بین محفظه و سیلندر را نشان می‌دهد.

میکروکانال‌ها در کاربردهای مهندسی و علمی مختلفی به کار می‌روند که چاپگر جوهر افسان یک مثال کلاسیک است. با توجه به اندازه کوچک و راندمان بالا، استفاده گسترده‌ای در کاربردهای پژوهشی و سیستم‌های میکروالکترومکانیکی مانند میکرو مبدل‌های حرارتی، میکروپمپ‌ها، میکروتورین‌ها و حسگرها دارند [7,6].

در زیر، به تعداد زیادی از مقالات مربوط به جریان نانو سیال در لوله‌ها، کانال و میکروکانال‌ها پرداخته شده است.

اکبری نیا و همکاران [8] به بررسی جابجایی اجرایی نانو سیال آب - اکسید آلومینیوم در یک میکروکانال مستطیلی دو بعدی پرداختند. آن‌ها افزایش انتقال حرارت بر اثر افزودن ذرات نانو به سیال

پایه، در اعداد رینولدز پایین را مورد مطالعه قرار دادند. در نتایج بیان کردند که عدد رینولدز در نانوکانال، تحت اثر سرعت ورودی و ویسکوزیته سینتیکی نانو سیال بوده و ویسکوزیته با افزایش کسر حجمی نانو ذرات افزایش می‌یابد.

بهزاد مهر و همکاران [9] انتقال حرارت جابجایی اجرایی جریان مغشوش در یک لوله دایره‌ای شکل، با نانو سیال آب- اکسید مس را به صورت عددی مطالعه کردند. آنها در این مطالعه، مدل مخلوط دو فازی را به کار بردن. با مقایسه نتیجه‌های محاسبه شده و مقادیر تجربی، نشان دادند که مدل مخلوط دوفازی دقیق‌تر از مدل تک فازی است. همچنین چرخش محوری ناحیه جریان و پروفیل‌های سرعت توسعه یافته در عده‌های رینولدز مختلف را بررسی کردند.

کمالی و همکاران [10] به بررسی عددی انتقال حرارت جابجایی نانو سیال آب- اکسید مس در یک میکرولوله با شرایط مرزی شارثابت پرداختند. نتایج نشان می‌دهد که ضربی انتقال حرارت و عدد ناسلت افزایش یافته است. او همچنین رفتار نانو سیال در یک میکرولوله را با روش آزمایشگاهی نیز مورد بررسی قرار داده و با مقایسه با روش عددی مشخص گردید که روش عددی یکی از قوی‌ترین روش‌های حل مسائل انتقال حرارت است.

نعمتی و همکارانش [11] به بررسی تأثیر میدان مغناطیسی بر جریان جابجایی آزاد نانو سیال در یک محفظه مستطیلی پرداختند. نتایج مطالعه آنها نشان می‌دهد که نوسلت متوسط نانو سیال با افزایش کسر حجمی جامد افزایش می‌یابد، در حالی که در اثر میدان مغناطیسی زیاد، کاهش می‌یابد.

شیخزاده و همکاران [12] به بررسی عددی تأثیر افت فشار و انتقال حرارت نانو سیال آب- اکسید آلومینیوم در میکروکانال پرداختند. نتایج آنها نشان داد که با افزایش درصد حجمی نانوذرات، انتقال حرارت افزایش می‌یابد و با این افزایش درصد حجمی، افت فشار نیز افزایش پیدا می‌کند و استفاده از نانو سیال در رینولدزهای بالا نسبت به رینولدزهای پایین باعث افزایش عدد ناسلت می‌گردد.

هوو و همکاران [13] با تحقیقات تجربی خود به منظور بررسی عملکرد خنک کاری نانو سیال آب- اکسید آلومینیوم در جریان اجرایی در میکروکانال به این نتیجه رسیدند که نانو سیال آب- اکسید آلومینیوم در مقایسه با آب خالص دارای عملکرد بالاتری از انتقال حرارت در میکروکانال می‌باشد.

تپیر و همکاران [14] به صورت عددی، انتقال حرارت جابجایی اجرایی جریان آرام توسعه یافته نانو سیال آب- اکسید آلومینیوم در لوله دایره‌ای با شار حرارتی ثابت را بررسی نمودند و نشان دادند که ضربی انتقال حرارت با افزایش عدد رینولدز و کسر حجمی به طور خطی افزایش پیدا می‌کند و با افزایش اندازه ذرات به طور غیر خطی کاهش پیدا می‌کند.

ایزدی و همکاران [15] جریان جابجایی اجرایی در حالت توسعه یافته آرام در بین دو دایره متحدم‌المرکز را مورد بررسی قرار دادند و به

مستطیلی پرداختند. بدین منظور از دو دیدگاه تک فاز و دو فاز استفاده شده است. در بخش دو فاز روش اویلر- لاگرانژ برای شیوه-سازی پخش ذرات در سیال پایه به کار رفته است. مشاهده می شود که افزایش درصد حجمی نانو ذرات، باعث بهبود ضریب انتقال حرارت می شود و این اثر در نسبت های منظری بالاتر، پر رنگتر است. همچنین در عدد ریچاردسون پایین تر که اثر جابجایی اجباری بیشتر از جابجایی آزاد است، پخش نانو ذرات آب- اکسید تیتانیوم در سیال پایه به نحوی است که بهبود انتقال حرارت بیشتر خواهد بود.

پاک و چو [26] با تحقیقات تجربی خود به منظور بررسی اثرات اصطکاک در جریان مغشوش و رفتارهای انتقال حرارتی نانوسيال تشکیل شده توسط ذرات TiO_2 و Al_2O_3 در یک لوله مدور به این نتیجه رسیدند که افزایش غلظت نانو ذره باعث افزایش عدد ناسلت می شود.

دینگ و همکاران [27] با مطالعه انتقال حرارت جابجایی اجباری آرام نانوسيال آب- مس در نانو لوله کربنی با شرط عدم لغزش، نشان دادند به دلیل نسبت هندسی بالای میکروکاتال، ضریب انتقال حرارت افزایش می یابد.

باتاچریا و همکاران [28] انتقال حرارت جریان مغشوش نانوسيال آب- اکسید آلومینیوم در میکروکاتال را بررسی نمودند. به این نتیجه رسیدند که، استفاده از نانوسيال آب- اکسید آلومینیوم به جای استفاده از آب خالص باعث بهبود عملکرد انتقال حرارت در میکروکاتال با چاه حرارتی شده است.

جانگ و همکاران [29] به بررسی جریان نانوسيال آب- اکسید آلومینیوم در یک میکروکاتال مستطیلی پرداختند و در کار خود افزایش انتقال حرارت را بر اثر افزایش عدد رینولز و درصد حجمی نشان دادند. همچنین مشخص نمودند که، افزایش عدد رینولز باعث افزایش ناسلت می شود.

رحمان و همکاران [30] عملکرد حرارتی یک جریان دو بعدی، پایدار و لغزشی و تحت میدان مغناطیسی با نانوسيال آب- مس و آب- اکسید آلومینیوم را در یک گوه مطالعه کردند. نتایج آنها نشان داد که سرعت نانوسيال در مقایسه با سرعت سیال خالص کمتر خواهد بود و وجود نانوسيال باعث نازکتر شدن لایه مرزی هیدرودینامیکی و ضخیم تر شدن لایه مرزی حرارتی می شود. همچنین نرخ انتقال حرارت در نانوسيال آب- مس، بیشتر از نانو سیال آب- اکسید آلومینیوم می باشد. سانترا و همکاران [31] با بررسی انتقال حرارت و جریان آرام نانوسيال آب- اکسید مس در میان دو صفحه موازی هم دما، نشان دادند که عملکرد حرارتی با افزایش کسر حجمی افزایش می یابد و نانوسيال نیز در مقایسه با آب خالص جهت خنک سازی مفیدتر خواهد بود.

کریمی پور و همکاران [32] انتقال حرارت جابجایی اجباری نانو سیال آب- FMWCNT را در یک ریز کاتال دو بعدی تحت میدان

این نتیجه رسیدند که کسر حجمی نانوذرات تأثیر مهمی در پروفیل-های دمایی دارد و تأثیر بر روی سرعت بی بعد ندارد.

پنگ و همکاران [16] به بررسی جریان سیال آب در میکروکاتال شیشه ای پرداختند، در این بررسی تجربی، آنها دریافتند که انتقال جریان از حالت آرام به مغشوش در میکروکاتال در محدوده عدد رینولز بین 1700 تا 1900 اتفاق می افتد.

نظری و همکاران [17] انتقال حرارت آب و نانو سیال آب- آلومینا در یک لوله دما ثابت حاوی ماده متخلخل در محدوده رینولز 700 تا 5000 به صورت تجربی مورد بررسی قرار دادند. نتایج بدست آمده نماینگر افزایش انتقال حرارت نانوسيال نسبت به سیال پایه است.

حاتمی و گنجی [18] به تحلیل جریان و انتقال حرارت جریان نانوسيال آب- اکسید مس در میکروکاتال با چشمۀ حرارتی پرداختند. آنها نشان دادند که افزایش قطر نانوذرات باعث افزایش اختلاف دما بین سیال و دیوارهای توپوتی عدد ناسلت می شود. همچنین، افزایش نسبت منظری میکرو کاتال باعث افزایش عدد ناسلت، کاهش حداکثر سرعت بی بعد و کاهش ضخامت لایه مرزی می گردد.

مایگا و همکاران [20,19] به صورت عددی خواص حرارتی و هیدرودینامیکی نانوسيالات عبوری از لولهای که به طور یکنواخت حرکت داده می شود را در جریان آرام با مدل تک فازی بررسی نمودند. نشان دادند که افودن نانوذرات، انتقال حرارت را نسبت به سیال پایه به طرز قبلی توجهی افزایش می دهد.

لی و همکاران [21] با مطالعه انتقال حرارت در یک میکروکاتال ذوزنقه‌ای با استفاده از نانوسيال آب- مس نشان دادند که وجود نانو ذرات مس در سیال پایه آب باعث افزایش عملکرد حرارتی می شود.

آنوب و همکاران [22] به صورت تجربی بررسی نمودند انتقال حرارت جابجایی اجباری و نانوسيال آب- نانوذرات سیلیکا را در یک میکرو کاتال و نشان دادند که نانوسيال رفتار نیوتونی از خود نشان می دهد و افزایش کسر حجمی نانو ذرات باعث افزایش ویسکوزیتۀ نانوسيال خواهد شد.

شریعت و همکاران [23] به مطالعه جابجایی ترکیبی جریان آرام نانو سیال آب- اکسید آلومینیوم در یک کاتال بیضی شکل، با شرط مرزی شار حرارتی یکنواخت پرداختند. آنها نشان دادند که در یک عدد رینولز و عدد ریچاردسون مشخص، افزایش کسر حجمی نانو ذرات جامد، عدد ناسلت را افزایش می دهد در حالی که اصطکاک پوسته‌ای را کاهش می دهد.

مانکا و همکاران [24] به تجزیه و تحلیل عددی بر روی جریان جابجایی هوا در کاتال های مربعی، مستطیلی، سه گوش و ذوزنقه‌ای پرداختند و به این نتیجه رسیدند که، ضریب اصطکاک در رژیم مغشوش جریان سیال با افزایش عدد ناسلت، افزایش می یابد. بازدیدی و همکاران [25] به مدلسازی عددی جریان آرام توانم با جابجایی مختلط نانو سیال آب- اکسید تیتانیوم در کاتال قائم

عدد رینولدز ورودی میکروکانال و ورودی از سوراخ‌های دیواره‌ی پایین مقادیر $Re=1,10,100$ در نظر گرفته شده است. تغییر مقادیر ضریب لغزش به صورت $\beta^*=0.001$ و $\beta^*=0.01$ و $\beta^*=0.1$ می‌باشد و مقادیر درصد وزنی نانوذرات جامد $\varphi=0\%$ و $\varphi=2\%$ و $\varphi=4\%$ می‌باشند.

جدول(۱): خواص ترموفیزیکی نانوسيال آب AL_2O_3 در دماي $20^{\circ}C$ [33]

ϕ	ρ (kg/m ³)	μ (pa.s)	K (w/mk)	c_p (J/kg k)
0%	997.1	8.91×10^{-4}	0.613	4179
2%	1056.5	9.37×10^{-4}	0.653	3922.4
4%	1116	9.87×10^{-4}	0.695	3693.3

۳- معادلات حاکم:

معادلات بی بعد حاکم شامل معادلات پیوستگی، ممنتوم و انرژی است که برای حالت دائم، آرام و سیال نیوتونی به صورت زیر حل می‌شوند.

معادله پیوستگی بی بعد:

$$\frac{\partial U}{\partial X} + \frac{\partial V}{\partial Y} = 0 \quad (1)$$

$$\text{معادلات ممنتوم بی بعد:} \quad (2)$$

$$U \frac{\partial U}{\partial X} + V \frac{\partial U}{\partial Y} = - \frac{\partial P}{\partial X} +$$

$$\frac{\mu_{nf}}{\rho_{nf} v_f} \left(\frac{\partial^2 V}{\partial X^2} + \frac{\partial^2 V}{\partial Y^2} \right)$$

$$\text{معادله انرژی بی بعد:} \quad (3)$$

$$U \frac{\partial \theta}{\partial X} + V \frac{\partial \theta}{\partial Y} = \frac{\alpha_{nf}}{\alpha_f} \frac{1}{R_e Pr} \left(\frac{\partial^2 \theta}{\partial X^2} + \frac{\partial^2 \theta}{\partial Y^2} \right)$$

برای بی بعد سازی معادلات ۱ تا ۳ از پارامترهای زیر استفاده می‌شود:

$$H = \frac{h}{h} = 1 \quad L = \frac{l}{h} = 30 \quad (4)$$

$$X = \frac{x}{h} \quad Y = \frac{y}{h} \quad U = \frac{u}{u_c}$$

$$\theta = \frac{T - T_C}{T_h - T_C} \quad V = \frac{v}{u_c} \quad P_r = \frac{v_f}{\alpha_f} \quad R_e = \frac{u_c h}{v_f}$$

روابط محاسبه خواص نانوسيال به صورت زیر ارائه می‌شود:

$$\rho_{nf} = (1 - \varphi) \rho_f + \varphi \rho_s \quad (5)$$

$$\text{ضریب پخش حرارتی موثر نانوسيال}$$

$$\alpha_{nf} = \frac{k_{eff}}{(\rho c_p)_{nf}} \quad (6)$$

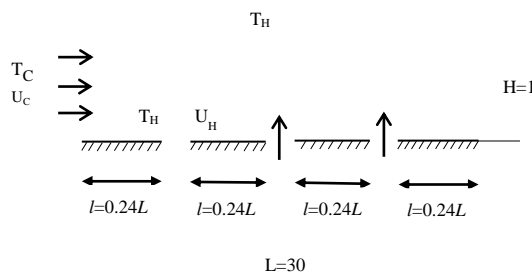
مغناطیسی مطالعه نمودند و مشاهده نمودند که افزایش قدرت میدان مغناطیسی، منجر به افزایش قابل توجهی در مقدار سرعت لغزشی می‌شود.

امین السادتی و همکاران [33] مطالعه اثرات میدان مغناطیسی بر جابجایی اجباری در میکروکانال افقی، با اعمال شار حرارتی و میدان مغناطیسی در قسمت وسط میکروکانال با نانوسيال آب- اکسید آلمینیوم انجام دادند و به این نتیجه رسیدند که، عملکرد حرارتی بهتر میکروکانال در اعداد رینولدز و هارتمن بالا اتفاق می‌افتد. همچنین در قسمت وسط میکروکانال عدد ناسلت متوسط با افزایش کسر حجمی جامد افزایش خواهد یافت.

در پژوهش حاضر برای نخستین بار به مطالعه انتقال حرارت جابجایی اجباری جریان آرام نانوسيال آیا- اکسید آلمینیوم در یک میکروکانال با تزریق جریان از روی دیوار میکروکانال در رژیم لغزشی پرداخته شده است. در این مطالعه عملکرد حرارتی نانوسيال تحت تاثیر غلضت ذرات نانو، ضریب لغزش بررسی شده است. نتیجه‌های به دست آمده با استفاده از پروفیل‌های سرعت، دما و مقادیر عدد ناسلت موضوعی و متوسط ارائه شده‌اند. نوآوری پژوهش حاضر در نظر گرفتن بررسی تزریق بر سرعت لغزشی از روی دیواره‌ی میکروکانال می‌باشد.

۲- شرح مسئله:

مسئله مورد بررسی یک میکروکانال دوبعدی، افقی طبق شکل ۱ می‌باشد. دیواره‌ی بالایی میکروکانال تحت دما $T_H=303\text{K}$ قرار دارد، بر روی دیوار پایین سه عدد سوراخ با قطر $A \times D=0.07 \times 0.07$ تعییب شده است که از این قسمت‌ها تزریق انجام می‌شود و سایر قسمت‌ها در بین سوراخ‌ها و همچنین لبه‌های ورودی و خروجی دیوار پایین عالیق هستند. نانوسيال در نظر گرفته شده شامل آب و نانوذرات جامد AL_2O_3 می‌باشد. نانوسيال با دما $T_C=293\text{K}$ و سرعت U_C وارد میکروکانال شده و پس از خنک سازی دیواره‌های میکروکانال از آنتهای آن خارج می‌شود. جریان نانوسيال درون میکروکانال به صورت آرام، دائم، نیوتونی در نظر گرفته شده است.



شکل(۱): شماتیک میکروکانال

دما $T=20^{\circ}C$ مطابق جدول ۱، ارائه شده است. شرط سرعت لغزشی روی دیواره‌های بالا و پایین در نظر گرفته شده است.

مقدار سرعت لغزشی از رابطه زیر به دست می‌آید:

$$(15)$$

$$U_s = \pm B \frac{\partial U}{\partial Y} \Big|_{Y=0,1}$$

که B نشان دهنده ضریب لغزش است.

به طور کلی، شرایط مرزی حاکم بر مسئله به صورت زیر می‌باشند [35]:

$$\leq Y \leq 1 \quad \text{for } X=0 \text{ and } 0 \quad \text{and } \theta = 0 \quad U=1, V=0$$

$$\leq Y \leq 1 \quad \text{for } X=30 \text{ and } 0 \quad \text{and } \frac{\partial U}{\partial X} = \frac{\partial \theta}{\partial X} = 0 \quad V=0$$

$$30 \quad \text{for } Y=0 \text{ and } 0 \leq X \leq V=0, U = U_s \quad \text{and } \frac{\partial \theta}{\partial Y} = 0$$

$$V=0, \quad \text{and } \theta = 1 \quad \text{for } Y=1 \text{ and } 0 \leq X \leq 30$$

$$U = U_s$$

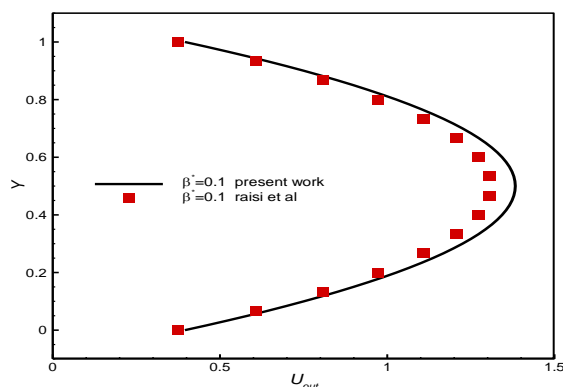
۵- بررسی استقلال از شبکه:

با توجه به اینکه هندسه مورد نظر میکروکاتال دوبعدی است، از متش منظم مستطیلی استفاده می‌کنیم. در این پژوهش تعداد مش مطابق با جدول 2 با در نظر گرفتن معیارهایی مانند خطای عددی قابل قبول و تعداد مش مناسب برای محاسبه پارامترهای سرعت و دمای بی بعد بررسی می‌شود. در جدول 2، استقلال از شبکه در عدد رینولدز $Re=10$ برای نانوسیال نیوتونی، در کسر حجمی 2 درصد نانوذره جامد بررسی شده است.

جدول ۲: بررسی استقلال از شبکه در پژوهش حاضر

	500x50	600x60	700x70
U	1.8636	1.8639	1.8641
θ	0.9141	0.9144	0.9147

در بررسی استقلال از شبکه، میزان خطای دو پارامتر سرعت و دمای بی بعد نسبت به حالت جوابهای دقیق تر (تعداد مش 700x700) در نظر گرفته شده است. به دلیل وجود خطای کمتر و تعداد مش کمتر و استفاده از حافظه و زمان پردازش کمتر، از مش سازمان یافته مستطیلی برای هندسه مورد نظر با ابعاد (600x600) استفاده می‌کنیم.



ظرفیت گرمایی ویژه نانوسیال

$$(7)$$

$$(\rho C_p)_{nf} = (1 - \varphi)(\rho C_p)_f + \varphi(\rho C_p)_s$$

در جریان آرام، لزحت موثر دینامیکی نانوسیال با استفاده از رابطه زیر محاسبه می‌شود.

$$(8)$$

$$\mu_{nf} = \frac{\mu_f}{(1 - \varphi)^{2.5}}$$

برای محاسبه ضریب هدایت گرمایی موثر نانوسیال از رابطه پاتل و همکاران [34] استفاده می‌شود

$$(9)$$

$$K_{eff} = k_f \left(1 + \frac{k_s A_s}{k_f A_f} + c k_s P_e \frac{A_s}{k_f A_f} \right)$$

در رابطه (9)، ثابت تجربی برابر با $c=25000$ رسانایی گرمایی $K_s=40 \text{ w/mk}$ و رسانایی گرمایی سیال برابر با K_f می‌باشد.

$$(10)$$

$$\frac{A_s}{A_f} = \frac{d_f}{d_s} \frac{\varphi}{1-\varphi}$$

$$(11)$$

$$P_e = \frac{u_s d_s}{\alpha_f}$$

در روابط (10) و (11)، $d_f=2^\circ \text{A}$ قطر ملکول آب و $d_s=40 \text{ nm}$ قطر ملکول نانوذره می‌باشد، همچنین A_s مساحت ملکول جامد، A_f مساحت ملکول سیال است. مقدار u_s سرعت حرکت براونی نانوذرات با رابطه زیر بدست می‌آید:

$$(12)$$

$$u_s = \frac{2 K_b T}{\pi \mu_f d_s^2}$$

در رابطه (12) مقدار $k_b=1.3807 \times 10^{-23} \text{ J/K}$ می‌باشد.

عدد ناسلت موضعی (Nu_s) و ناسلت متوسط (Nu_m) به صورت زیر می‌باشد:

$$(13)$$

$$Nu(x) = - \frac{K_{eff}}{K_f} \left(\frac{\partial \theta}{\partial Y} \right)_{Y=0}$$

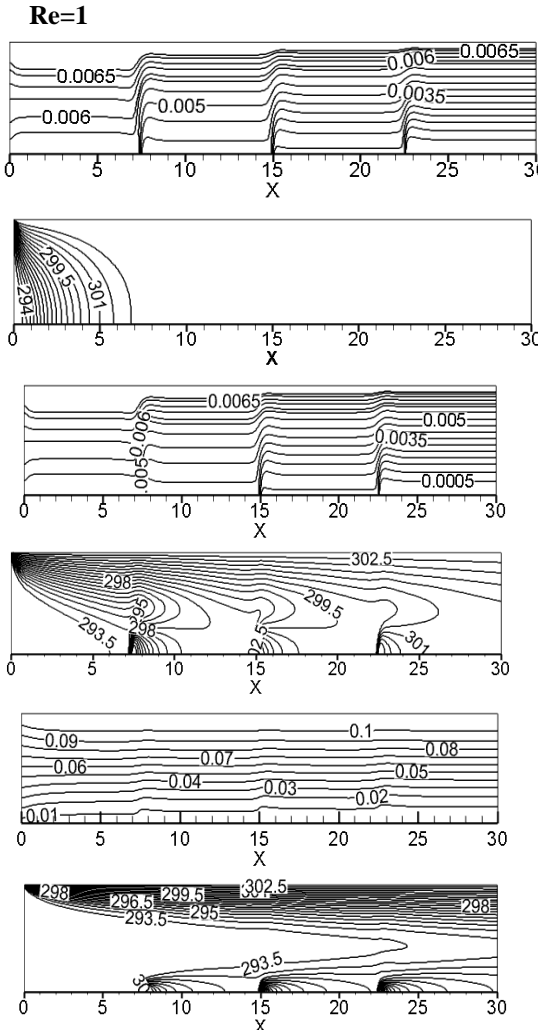
$$(14)$$

$$Nu_m = \frac{1}{L} \int_0^L Nu_x dx$$

۴- شرایط مرزی:

شرایط مرزی در میکروکاتال شامل شرایط مرزی سرعت ورودی در مقطع ورودی جریان سیال، شرط فشار خروجی در مقطع خروجی و دیوارهای از نوع جامد هستند. در شرایط مرزی ورودی، جریان یکنواخت با سرعت و دمای بی بعد واحد در نظر گرفته می‌شود. در خروجی نیز از شرایط توسعه یافتنی هیدرودینامیکی و حرارتی استفاده می‌گردد.

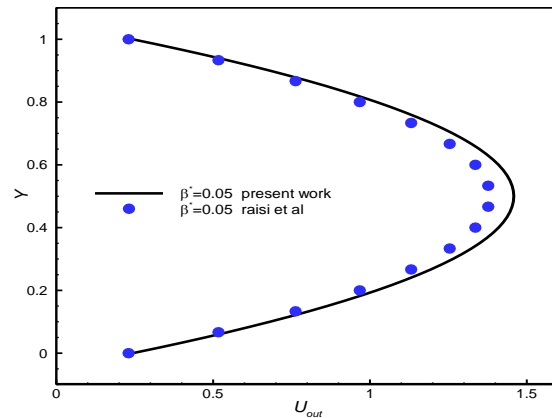
سپس پس از آخرین تزریق جریان به توسعه یافتنگی کامل دست پیدا می‌کند. خطوط دما نشان می‌دهند که هر چه عدد رینولدز بیشتر باشد، به دلیل سرعت بیشتر جریان، زمان کافی برای تبادل گرمای بین نانوسيال و دیواره‌ی میکروکانال وجود ندارد و تبادل گرمای کمتری شکل می‌گیرد، لذا جریان دیرتر می‌تواند به حالت کاملاً توسعه یافته برسد.



شکل ۴: نمودارهای خطوط جریان (بالا) و خطوط دما (پایین) در اعداد رینولدز مختلف در $\phi=2\%$, $\beta^*=0.1$

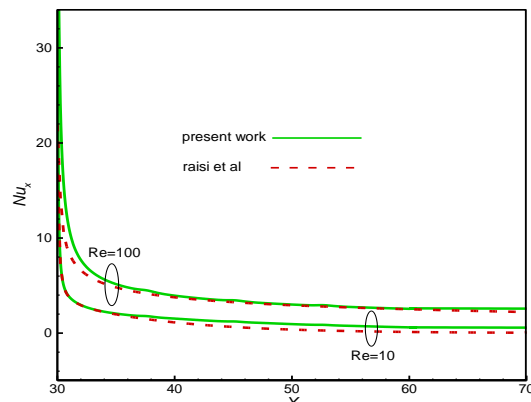
۱-۷- بررسی اثر ضریب لغزش بی بعد:

در این قسمت، اثرات ضریب لغزش بر روی عملکرد حرارتی میکروکانال بررسی می‌شود. شکل ۵ پروفیل سرعت و دمای نانوسيال آب-اکسیدآلومینیوم روی خط عمودی میکروکانال ($x=0.6 L$)، به ازای $Re=10$ و $\phi=2\%$ و رینولدز ورودی از سوراخ‌های دیوار پایین برابر با ۱ در مقادیر مختلف ضریب لغزش مشخص شده است. در نمودار پروفیل سرعت، جریان نانوسيال به صورت پروفیلهای سهمی



شکل ۱: پروفیل سرعت پژوهش حاضر در مقایسه با نتایج [35]

همچنین در شکل ۳ عدد ناسلت موضعی در یک میکروکانال در رینولدزهای مختلف با نتایج کار رئیسی و همکاران [35] مقایسه شده است.



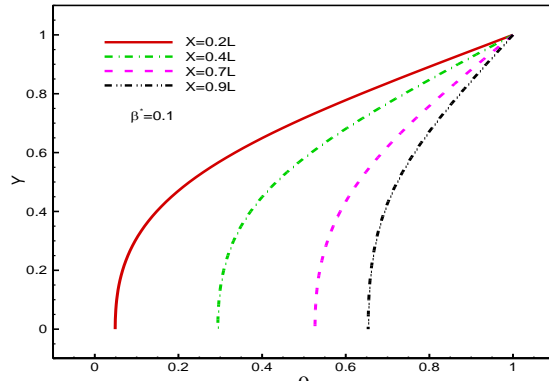
شکل ۳: عدد ناسلت پژوهش حاضر در مقایسه با نتایج [35]

۷- نتایج و بحث:

انتقال حرارت جابجایی اجباری نانوسيال آب- Al_2O_3 در یک میکروکانال دو بعدی افقی به صورت عددی مطالعه شده است. همان طور که در شکل ۱، نشان داده شده است، دیواره‌ی بالایی میکروکانال تحت دمای ثابت و دیواره‌ی پایینی در لبه‌های ورودی و خروجی و همچنین بین سوراخ‌ها عایق می‌باشد. شرط مرزی سرعت لغزشی در طول دیواره‌های میکروکانال، برای مقادیر مختلف ضریب لغزش در نظر گرفته شده است.

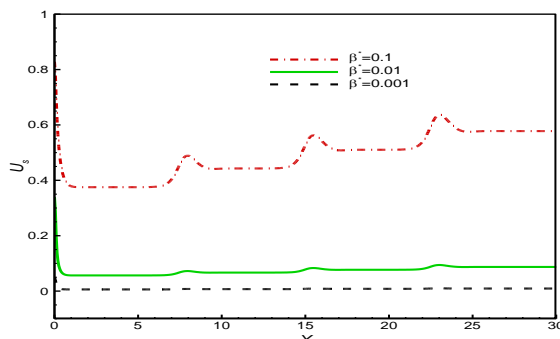
شکل ۴ خطوط جریان و هم دما برای اعداد رینولدز ۱ و ۱۰ و ۱۰۰ به ازای کسر حجمی ۲ درصد، ضریب لغزش ۰.۱ و رینولدز ورودی از سوراخ‌های دیوار پایین برابر با ۱۰ را نشان می‌دهد. برای هر سه عدد رینولدز، با توجه به خطوط جریان مشاهده شده که جریان بعد از گذشتن از طول کمی از ورودی میکروکانال به حالت توسعه یافته می‌رسد، تا اینکه تزریق در هر مرحله از سوراخ‌ها انجام می‌شود و

نانوسيال در نزدیکی دیواره گرم میکروکانال زیاد شده، همچنین با زیاد شدن ضریب لغزش، تغییر ناچیزی در دمای نانوسيال رخ می‌دهد.



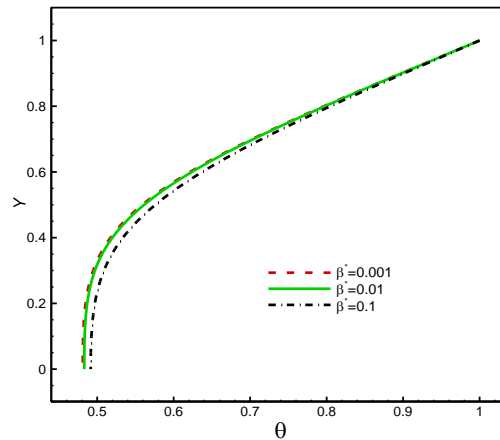
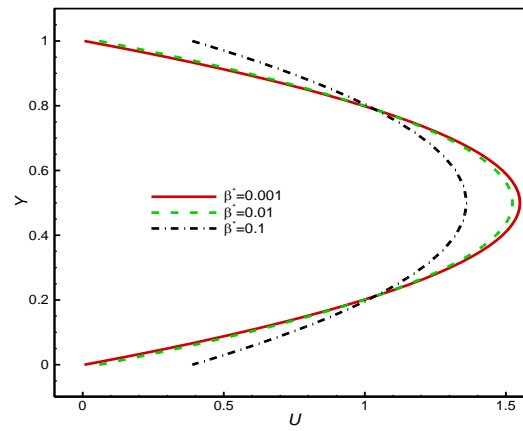
شکل ۶: پروفیل دما روی مقطع‌های مختلف میکروکانال در $\text{Re}=10$ و $\phi=2\%$

در شکل ۷ تاثیر مقادیر مختلف ضریب لغزش بر روی سرعت لغزشی در عدد رینولدز ۱۰ و کسر حجمی نانو ذرات $\phi=2\%$ و رینولدز ورودی از سوراخها برابر ۱۰ مشخص گردیده است. مشاهده می‌شود که سرعت لغزشی دیواره در ورودی میکروکانال مقدار حداقل می‌باشد و در طول کمی با افزایش x ، کاهش می‌یابد و سپس با انجام هر تزریق از سوراخ‌های دیواره، سرعت لغزشی مقداری زیاد شده و در نهایت کاهش می‌یابد و به مقدار ثابتی میل می‌کند. ضریب لغزش اثر قابل توجهی بر سرعت لغزشی نانوسيال در نزدیکی دیواره‌های میکروکانال دارد. با افزایش ضریب لغزش جریان به رژیم لغزشی نزدیکتر می‌گردد و سرعت لغزشی در طول دیواره‌های میکروکانال زیاد می‌شود. هر چه عدد رینولدز بیشتر می‌شود، مشخص است که سرعت نانوسيال در نزدیکی دیواره‌های میکروکانال افزایش پیدا می‌کند. درنتیجه، سرعت لغزشی دیرتر به حالت کاملاً توسعه یافته می‌رسد. شکل ۷ به خوبی تاثیر تزریق از روی دیواره میکروکانال که در این کار به آن پرداخته شده است را نشان می‌دهد که باعث افزایش سرعت لغزشی به خصوص در ضریب لغزش‌های بالا در طول دیوار میکروکانال شده است. با توجه به بررسی کارهای تحقیقاتی انجام شده در این زمینه و مبحث میکروکانال تا به امروز، این نمودار برای اولین بار در کار حاضر بررسی و رسم شده است.



شکل توسعه یافته شده می‌باشد. نانوسيال روی دیوارهای میکروکانال به دلیل وجود شرط مرزی لغزش روی دیوارهای دارای سرعت است و به عبارت دیگر، سرعت نانوسيال روی دیوارهای میکروکانال غیر صفر می‌باشد. با افزایش ضریب لغزش، مقدار سرعت نانوسيال روی دیوارهای میکروکانال بیشتر می‌شود. مقدار حداقل سرعت روی خط عمودی وسط میکروکانال نیز با افزایش ضریب لغزش، به دلیل قانون بقای جرم کاهش پیدا می‌کند.

در نمودار پروفیل دما، مقدار دما روی خط عمودی میکروکانال نیز با زیاد شدن ضریب لغزش افزایش پیدا می‌کند.

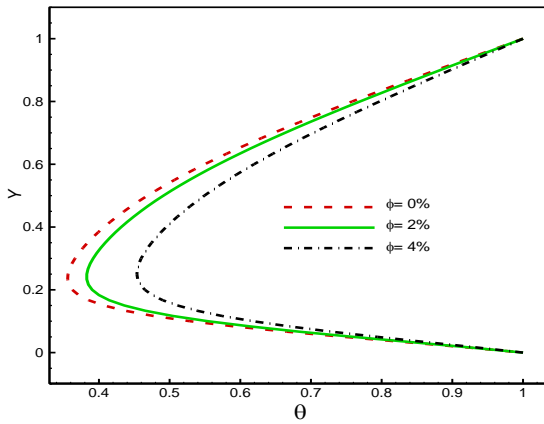


شکل ۵: پروفیل سرعت و دمای بی بعد در خط عمودی میکروکانال ($L=0.6$) در $\text{Re}=10$, $\phi=2\%$, $x=0.6$ و لغزش‌های مختلف

در ادامه در شکل ۶ پروفیل دمای بی بعد در مقطع‌های مختلف میکروکانال در $\text{Re}=10$, $\phi=2\%$, و رینولدز ورودی از سوراخ‌های دیوار پایین برابر با ۱ در ضریب لغزش ۰.۱ مشخص شده است.

مقدار دمای بی بعد در طول میکروکانال، با افزایش مقطع افزایش پیدا می‌کند. دمای نانوسيال در ناحیه کاملاً توسعه یافته در طول میکروکانال با افزایش سطح مقطع، زیاده شده است. همانطور که مشاهده می‌شود طبق پروفیل‌های دما، دمای

در نمودار مشاهده می‌شود که افزایش کسر حجمی نانوذرات جامد، باعث افزایش دمای بی بعد نانوسیال به خاطر افزایش ضربه هدایت گرمایی نانوسیال می‌گردد. این افزایش دما به دلیل انتقال حرارت از دیوارهای میکروکانال به جریان نانوسیال در طول میکروکانال می‌باشد.



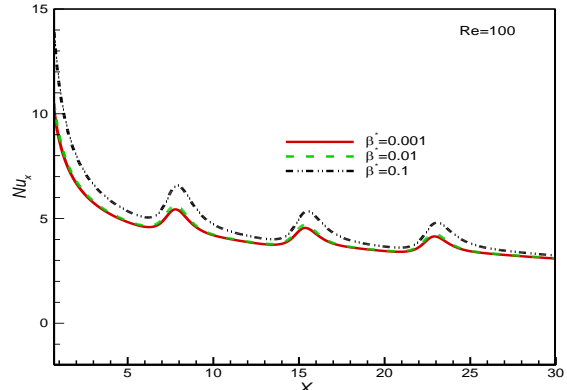
شکل ۷: پروفیل دما روی خط عمودی میکروکانال ($x=0.6 L$) در $Re=100$ و $\beta^*=0.1$ و کسر حجمی‌های مختلف

شکل ۱۰ تاثیر مقادیر مختلف کسر حجمی نانوذرات بر عدد ناسلت در $Re=100$ و $\beta^*=0.01$ و رینولدز ورودی از سوراخ‌های دیوار پایین برابر با ۱۰۰ مشخص شده است. همانطور که مشاهده می‌شود، عدد ناسلت با افزایش عدد رینولدز و ضربه لغزش افزایش پیدا می‌کند. در ورودی میکروکانال، عدد ناسلت به دلیل اختلاف زیاد دما بین نانوسیال و دیوارهای میکروکانال، دارای مقدار حدکثر می‌باشد و در طول میکروکانال با افزایش Δx به دلیل افزایش دمای نانوسیال، کاهش پیدا می‌کند.

مقدار عدد ناسلت در ورودی میکروکانال بسیار به زمان کافی برای تبادل انتقال حرارت بین نانوسیال و دیوارهای میکروکانال وجود دارد و دمای نانوسیال زیاد شده و به دمای دیوارهای میکروکانال می‌رسد و اختلاف دمای نانوسیال و دیوارهای میکروکانال کاهش پیدا می‌کند. عدد ناسلت با افزایش عدد رینولدز و کسر حجمی نانوذرات جامد افزایش پیدا می‌کند. عدد ناسلت در ورودی میکروکانال، به خاطر اختلاف زیاد دما بین نانوسیال و دیوارهای میکروکانال، دارای مقدار حدکثر می‌باشد و در طول میکروکانال با افزایش Δx به دلیل افزایش دمای نانوسیال، کاهش پیدا می‌کند. در خروجی میکروکانال که دمای نانوسیال و دمای دیوارهای میکروکانال بسیار به هم نزدیک می‌گردند، بسیار کم مقدار عدد ناسلت تحت تاثیر افزایش ضربه لغزش، عدد ناسلت افزایش پیدا می‌کند. چون با افزایش ضربه لغزش، گرادیان دما در طول دیوار گرم شده میکروکانال زیاد می‌شود. در رینولدزهای پایین، افزایش عدد ناسلت تحت تاثیر افزایش ضربه لغزش کمتر است اما هر چه عدد رینولدز بیشتر می‌شود، افزایش عدد ناسلت با افزایش ضربه لغزش مشهودتر می‌باشد. زیرا در رینولدزهای پایین، سرعت نانوسیال در نزدیکی دیوارهای میکروکانال کم می‌باشد و زمان کافی برای تبادل انتقال حرارت بین نانوسیال و دیوارهای میکروکانال وجود دارد و دمای نانوسیال زیاد شده و به دمای دیوارهای میکروکانال می‌رسد و اختلاف دمای نانوسیال و دیوارهای میکروکانال کاهش پیدا می‌کند.

شکل ۷: سرعت لغزشی بی بعد در طول دیوارهای میکروکانال در $Re=100$ ، $\phi=2\%$ و ضربه لغزش‌های مختلف

اثر مقادیر مختلف ضربه لغزش بر عدد ناسلت در شکل ۸ برای $Re=100$ و $\phi=2\%$ و رینولدز ورودی از سوراخ‌های دیوار پایین برابر با ۱۰۰ مشخص شده است. همانطور که مشاهده می‌شود، عدد ناسلت با افزایش عدد رینولدز و ضربه لغزش افزایش پیدا می‌کند. در ورودی میکروکانال، عدد ناسلت به دلیل اختلاف زیاد دما بین نانوسیال و دیوارهای میکروکانال، دارای مقدار حدکثر می‌باشد و در طول میکروکانال، دارای مقدار حدکثر می‌باشد و در طول میکروکانال با افزایش Δx به دلیل افزایش دمای نانوسیال، کاهش پیدا می‌کند. مقدار عدد ناسلت در خروجی میکروکانال که دمای نانوسیال و دمای دیوارهای میکروکانال بسیار به هم نزدیک می‌گردند، بسیار کم می‌شود. در اعداد رینولدز مختلف با افزایش ضربه لغزش، عدد ناسلت موضوعی افزایش پیدا می‌کند. چون با افزایش ضربه لغزش، گرادیان دما در طول دیوار گرم شده میکروکانال زیاد می‌شود. در رینولدزهای پایین، افزایش عدد ناسلت تحت تاثیر افزایش ضربه لغزش کمتر است اما هر چه عدد رینولدز بیشتر می‌شود، افزایش عدد ناسلت با افزایش ضربه لغزش مشهودتر می‌باشد. زیرا در رینولدزهای پایین، سرعت نانوسیال در نزدیکی دیوارهای میکروکانال کم می‌باشد و زمان کافی برای تبادل انتقال حرارت بین نانوسیال و دیوارهای میکروکانال وجود دارد و دمای نانوسیال زیاد شده و به دمای دیوارهای میکروکانال می‌رسد و اختلاف دمای نانوسیال و دیوارهای میکروکانال کاهش پیدا می‌کند.



شکل ۸: تغییرات عدد ناسلت موضوعی در طول دیوارهای میکروکانال در $\phi=2\%$ برای ضربه لغزش‌های مختلف

۲-۷-بررسی تاثیر کسر حجمی نانوسیال:

شکل ۹ تاثیرات کسر حجمی نانوسیال را بر روی پروفیل دمای بی بعد روی خط عمودی میکروکانال ($x=0.6 L$)، به ازای $Re=10$ و $\beta^*=0.1$ و رینولدز ورودی از سوراخ‌های دیوار پایین برابر با ۱ در مقادیر مختلف کسر حجمی نانوذرات مشخص شده است.

شکل ۹: تغییرات عدد ناسلت موضوعی در طول دیوارهای میکروکانال در $Re=100$ ، $\beta^*=0.01$ و کسر حجمی‌های مختلف

نسلت در ورودی میکروکانال رخ می‌دهد. ضریب لغزش اثر قابل توجهی بر سرعت لغزشی نانوسيال در نزدیکی دیوارهای میکروکانال دارد. به گونه‌ای که با افزایش ضریب لغزش، جریان به رژیم لغزشی نزدیکتر می‌شود. با افزایش عدد رینولذز عدد نسلت افزایش پیدا می‌کند. در اعداد رینولذز مختلف با افزایش ضریب لغزش، عدد نسلت زیاد می‌شود. در عدهای رینولذز پایین، افزایش عدد نسلت تحت تاثیر افزایش ضریب لغزش کمتر می‌باشد و هر چه عدد رینولذز زیادتر می‌شود، افزایش عدد نسلت با افزایش ضریب لغزش مشهودتر می‌باشد.

همچنین اعمال تزریق باعث افزایش سرعت لغزشی در طول دیواره میکروکانال می‌گردند.

در پژوهش حاضر با در نظر گرفتن تزریق از روی دیواره و همچنین جریان در رژیم لغزشی، برای نخستین بار تاثیر تزریق بر سرعت لغزشی از روی دیواره میکروکانال مورد مطالعه قرار گرفت.

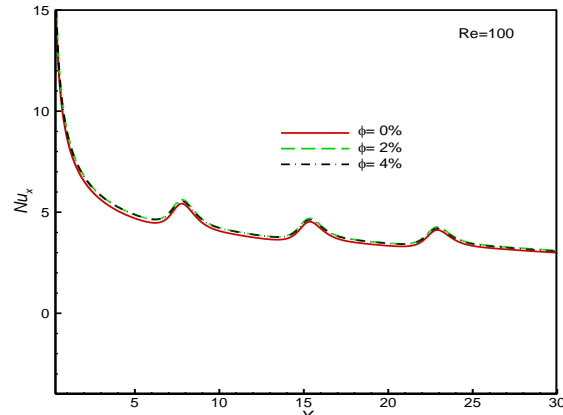
فهرست علامت	
Pr	عدد پرانتل
C_p	گرمای ویژه (J/kgK)
Nu	عدد نسلت
Nu_x	عدد نسلت موضعی
Nu_m	عدد نسلت میانگین
Re	عدد رینولذز
U_s	سرعت لغزشی بی بعد
T	دما (K)
U	مولفه سرعت بی بعد در راستای x
V	مولفه سرعت بی بعد در راستای y
X,Y	راستای بی بعد طول، عرض

علامت یونانی	
ρ	چگالی Kg/m^3
φ	کسر حجمی
β^*	ضریب لغزش بی بعد
μ	لزجت $Pa.s$

زیر نویس‌ها	
f	سیال
nf	نانوسيال

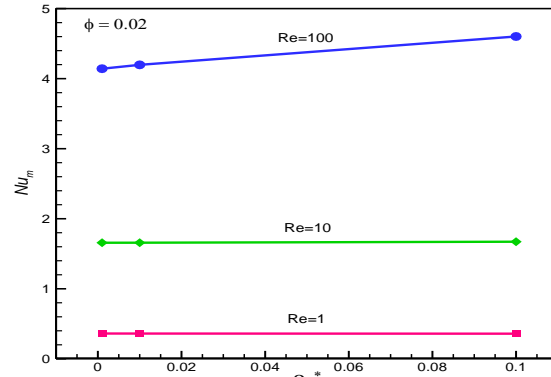
۹- مراجع:

- [1] J.C. Maxwell, “A Treatise on electricity and magnetism”, *second ed., Clarendon Press, Oxford, UK, 1881.*



در شکل 11 مقادیر نسلت متوسط روی دیوار میکروکانال برای ضریب لغزش‌های مختلف نشان داده شده است. عدد نسلت متوسط با افزایش ضریب لغزش زیاد می‌شود، به دلیل اینکه با افزایش ضریب لغزش، گرادیان دما در طول دیوار گرم شده‌ی میکروکانال افزایش می‌یابد و در نتیجه عدد نسلت متوسط زیاد می‌شود.

در عدهای رینولذز پایین، افزایش عدد نسلت متوسط تحت تاثیر افزایش ضریب لغزش کمتر می‌باشد.



شکل 11: تغییرات عدد نسلت متوسط برای مقادیر مختلف رینولذز و ضریب لغزش

۸- نتیجه گیری:

انتقال حرارت جابجایی اجباری نانوسيال تشکیل شده از آب و ذرات اکسید آلمینیوم در میکروکانال دوبعدی، افقی به صورت عددی مورد بررسی قرار گرفت. دیواره‌ی بالایی میکروکانال تحت دمای ثابت و بر روی دیواره‌ی پایین سه عدد سوراخ به منظور تزریق جریان قرار دارد و سایر قسمت‌های دیوار پایین عایق می‌باشد.

عدد نسلت با زیاد شدن عدد رینولذز و کسر حجمی نانوذرات افزایش پیدا می‌کند. در عدهای رینولذز مختلف با افزایش کسر حجمی نانوذرات، عدد نسلت موضعی زیاد می‌شود. هر چه عدد رینولذز بیشتر شود، افزایش عدد نسلت با افزایش کسر حجمی نانوذرات مشهودتر می‌باشد.

سرعت لغزشی با افزایش ضریب لغزش، افزایش می‌یابد اما مقدار عدد نسلت در خروجی میکروکانال کاهش می‌یابد. مقدار ماکزیمم عدد

- [12] Sheikhzadeh, G. A., Ebrahim Qomi, M., Hajialigol N., Fattahi A., Effect of Al₂O₃-water nanofluid on heat transfer and pressure drop in a three-dimensional microchannel, *International Journal Nano Dimens*, Vol. 34, pp. 281- 288, 2013.
- [13] Ho, C. J., Wei, L. C., Li, Z. W., An Experimental Investigation of Forced Convective Cooling Performance of a Microchannel Heat Sink with Al₂O₃-Water Nanofluid, *Applied Thermal Engineering*, Vol. 30, pp. 96–103, 2010.
- [14] S.Tahir, M.Mital," Numerical investigation of laminar nanofluid developing flow and heat transfer in a circular channel", *Applied Thermal Engineering*, vol. 39, pp.8-14, 2012.
- [15] M. Izadi, A. Behzadmehr, D. Jalali-Vahida, Numerical study of developing laminar forced convection of a nanofluid in an annulus, *International Journal of Thermal Sciences*, vol. 48, pp. 2119-2129, 2009.
- [16] Peng-Fei Hao Xi-Wen, Zhang Zhao-Hui, Yao Feng He. "Transitional and turbulent flow in a circular microtube", *Experimental Thermal and Fluid Science*, pp. 423–431, 2007.
- [17] M. Nazari, M. Ashouri, M.H. Kayhani, Experimental investigation of forced convection of nanofluids in a horizontal tube filled with porous medium, *Modares Mechanical Engineering*, Vol. 14, No. 7, pp. 109-116, 2014.
- [18] Hatami M., Ganji, D. D., Thermal and flow analysis of microchannel heat sink (MCHS) cooled by Cu–water nanofluid using porous media approach and least square method, *Energy Convers. Manag.*, Vol. 78, pp. 347–358, 2014.
- [19] Maiga, S.E.B.; Nguyen, C.T.; Galanis, N.; Roy, G.; "Heat transfer behaviours of nanofluids in a uniformly heated tube", *Superlattices and Microstructures*, vol. 35, pp. 543–557, 2004.
- [20] Maiga, S.E.B.; Nguyen, C.T.; Galanis, N.; Roy, G.; "Hydrodynamic and thermal behaviours of a nanofluid in a uniformly heated tube", *Computational Studies*, vol. 5, pp. 453–462, 2004.
- [21] Li. J., Kleinstreuer.C., " Thermal performance of nanofluid flow in microchannels", *International Journal. of Heat and Fluid Flow*, vol. 29, pp. 1221-1232, 2008.
- [22] Anoop. K., Sadr. R., Yu. J., Kang. S., Jeon. S., Banerjee. D., "Experimental study of forced convective heat transfer of nanofluids in a microchannel", *International Communications*
- [2] A. Malvandi, D.D. Ganji, Magnetic field effect on nanoparticles migration and heat transfer of water/alumina nanofluid in a channel, *Journal Magn.Magn.Mater.*, vol. 36, pp. 172–179, 2014.
- [3] A. Malvandi, D.D. Ganji, Brownian motion and thermophoresis effects on slip flow of alumina/water nanofluid inside a circular microchannel in the presence of a magnetic field, *International Journal of Thermal Sciences*, vol. 84, pp. 196–206, 2014.
- [4] H. Aminfar, M.Nasiri, M. Khezerloo, Numerical investigation of entropy generation of nanofluid in vertical sinusoidal channel with magnetic field, *Modares Mechanical Engineering*, Vol. 15, No. 9, pp. 87-94, 2015.
- [5] P. Ramian, M. Taebie Rahni, A. Adamian, Computational Simulation of Effects of Nanofluidicity and Flow Boundaries on Natural Heat Transfer in Presence of Magnetic Field, Using LBM, *Modares Mechanical Engineering*, Vol. 15, No. 6, pp. 167-178, 2015.
- [6] O. Mokrani, B. Bourouga, C. Castelain, H. Peerhossaini, Fluid flow and convective heat transfer in flat microchannels, *International Journal Heat Mass Transf*, vol. 52, pp. 1337–1352, 2009.
- [7] A. Malvandi, D.D. Ganji, Effects of nanoparticle migration and asymmetric heating on magnetohydrodynamic forced convection of alumina/water nanofluid in microchannels, *Eur. J. Mech.-B/Fluids*, vol. 52, pp. 169–184, 2015.
- [8] A. Akbarinia, M. Abdolzadeh, R. Laur, Critical investigation of heat transfer enhancement using nanofluid in microchannels with slip and non-slip flow regimes, *Applied Thermal Engineering*, vol. 31, pp. 556-565, 2011.
- [9] A. Behzadmehr, M. Saffar-Avval, N. Galanis, Prediction of turbulent forced convection of a nanofluid in a tube with uniform heat flux using a two phase approach, *International Journal of Heat and Fluid Flow*, vol. 28, pp. 211-219, 2007.
- [10] R. Kamali, A.R. Binesh, Numerical Investigation of Heat Transfer Enhancement Using Carbon Nanotube Non-Newtonian Nanofluids, *International Communication in Heat and Mass Transfer*, vol. 37, pp. 1153-1157, 2010.
- [11] Nemati H., Farhadi M., Sedighi K., Ashorynejad H.R., Fattahi E., " Magnetic Field Effects on Natural Convection Flow of Nanofluid in a Rectangular Cavity Using the Lattice Boltzmann Model", *Scientia Iranica*, Vol .19, pp.303-310, 2012.

- Journal of Magnetism and Magnetic Materials*, Vol. 419, pp. 420- 428, 2016.
- [33] S.M. Aminossadati, A.Raisi, B.Ghasemi, "Effects of magnetic field on nanofluid forced convection in a partially heated microchannel", *International Journal of Non-Linear Mechanics*, vol. 46, pp. 1373-1382, 2011.
- [34] Patel, H. E., Sundararajan T., Pradeep T., Dasgupta A., Dasgupta N., Das, S. K., A Micro Convection Model for Thermal Conductivity of Nanofluids, *Pramana Journal Phys*, Vol. 65, no. 5, pp. 863–869, 2005.
- [35] Raisi, A., Ghasemi, B., and Aminossadati, S. M., "A Numerical Study on the Forced Convection of Laminar Nanofluid in a Microchannel with Both Slip and No-Slip Conditions". *Numerical Heat Transfer*, Part A, vol. 59, pp. 114-129, 2011.
- in Heat and Mass Transfer*, vol. 39, pp. 1325-1330, 2012.
- [23] M. Shariat, A. Akbarinia, A. Hossein Nezhad, A. Behzadmehr, R. Laur, Numerical study of two phase laminar mixed convection nanofluid in elliptic ducts, *Applied Thermal Engineering*, Vol. 31, pp. 2348-2359, 2011.
- [24] O. Manca, S. Nardini, D. Ricci, Numerical investigation of air forced convection in channels with differently shaped transverse ribs, *International Journal. Numer. Method Heat Fluid Flow*, vol. 21, pp. 618-639, 2010.
- [25] F. Bazdidi Tehrani, M. Sedaghatnejad, N. Ekrami, I. Vasefi, Single Phase and Two Phase Analysis of Mixed Convection of Nanofluid Flow in Vertical Rectangular Duct under an Asymmetric Thermal Boundary Condition, *Modares Mechanical Engineering*, Vol. 14, No. 13, pp. 47-58, 2015.
- [26] B. C. Park, Y. I. Cho, Hydrodynamic and heat transfer study of dispersed fluids with submicron metallic oxide particles, *Exprimental. Heat Transf*, vol. 11, pp. 151-170, 1998.
- [27] Y. Ding, H. Alias, D. Wen, R. Williams, "Heat Transfer of Aqueous Suspension of Carbon Nanotube", *Internatinal Journal of Heat and Mass Transfer*, Vol. 49, pp. 240-250, 2006.
- [28] Bhattacharya P., Samanta, A. N., Chakraborty S., Numerical Study of Conjugate Heat Transfer in Rectangular Microchannel Heat Sink with Al₂O₃-H₂O Nanofluid, *Heat Mass Transfer*, Vol. 45, no. 10, pp. 1323–1333, 2009.
- [29] Jung.J.,Oh. H.,Kwak. H., "Forced convective heat transfer of nanofluids in microchannels", *International Journal of Heat and Mass Transfer*, vol. 52, pp. 466-472, 2009.
- [30] M.M. Rahman, M.A. Al-Lawatia, I.A. Eltayeb, N. Al-Salti, "Hydromagnetic slip flow of water based nanofluids past a wedge with convective surface in the presence of heat generation (or) absorption", *International Journal of Thermal Sciences*, vol. 57, pp. 172-182, 2012.
- [31] A. Santra, S.Sen, N. Chakraborty, "Study of Heat Transfer Due to Lminar Flow of Copper-Water Nanofluid through Two Isothermally Heated Parallel Plates", *Internatinal Journal of Thermal Sciences*, Vol. 48, pp. 391-400, 2009.
- [32] A. Karimipour, A. Taghipour, A. Malvandi, "Developing the laminar MHD forced convection flow of water/FMWNT carbon nanotubes in a microchannel imposed the uniform heat flux",